

Principal Space and Elasticity

강의명: 소성가공 (MSA0026)

정영웅

창원대학교 신소재공학부

YJEONG@CHANGWON.AC.KR

연구실: #52-212 전화: 055-213-3694

Homepage: [HTTP://YOUNGUNG.GITHUB.IO](http://YOUNGUNG.GITHUB.IO)

Outline

- Stress space (응력 공간)를 이해한다.
- Principal space of stress space를 이해한다.
- Principal values를 구하는 법을 익힌다.
- Invariants를 이해한다.

Recap

- 일축인장으로 힘과, displacement 구하는 법
- 힘과 displacement를 각각 응력 변형률로 변환
- Two types of stress (strain):
 - Normal
 - Shear
- Cauchy: 공간의 각 면에 하나의 normal 둘의 shear term, 그리고 총 세 독립적인 면에서의 응력 값으로 응력 상태를 대표할 수 있다.
- 따라서 총 9개의 응력 구성값이 있으나, 힘평형 상태에서는 6개의 독립적인 값만 존재한다.
- 텐서의 좌표 변환법
 - 매트리스 형태에서 나타나는 텐서의 구성값들은 좌표에 따라 바뀐다.
 - 텐서의 rank에 따라 구분되는 좌표 변환법이 있으며, 표기를 간략하게 하기 위해 Einstein summation convention이 널리 쓰인다.

Symmetries in stress/strain tensors

- 변형률 텐서의 경우 다음의 symmetry를 가진다.

$$\varepsilon_{ij} = \varepsilon_{ji}$$

$$\varepsilon_{ij} = \frac{1}{2}(d_{ij} + d_{ji})$$

$$\varepsilon_{ji} = \frac{1}{2}(d_{ji} + d_{ij})$$

- 응력 텐서의 경우 force equilibrium 조건에 의해 symmetry를 가진다.

$$\sigma_{ij} = \sigma_{ji}$$

$$\boldsymbol{\sigma} = \begin{bmatrix} \sigma_{11} & \sigma_{12} & \sigma_{13} \\ \sigma_{21} & \sigma_{22} & \sigma_{23} \\ \sigma_{31} & \sigma_{32} & \sigma_{33} \end{bmatrix} = \begin{bmatrix} \sigma_{11} & \sigma_{12} & \sigma_{13} \\ \sigma_{12} & \sigma_{22} & \sigma_{23} \\ \sigma_{13} & \sigma_{23} & \sigma_{33} \end{bmatrix}$$

Linear operations (mapping)

- Stress tensor는 두 벡터 공간 사이의 선형 변환을 한다.
 - Stress tensor는 한 벡터량을 또 다른 벡터량으로 변환 (transform, mapping) 해준다.
 - 벡터량으로 나타낼 수 있는 것 중에 하나가 *plane 이다
- 한 물질점의 응력 상태를 알고 (즉 stress tensor), 그 물질점의 특정 면에 작용하는 힘(vector)을 알고 싶다면, 해당 특정면의 방향을 나타내는 벡터(n)와의 inner dot product를 얻으면 된다.
 - 2차 텐서와 1차 텐서간의 inner dot product는 다음과 같이 정의 된다:
$$\sigma \cdot n = \sigma_{ij}n_j$$
 - $\sigma \cdot n$ 는 n 이 법선인 면에 작용하는 '힘' (force)가 된다. 즉 $f = \sigma \cdot n$, $f_i = \sigma_{ij}n_j$
- 또 다른 예: 한 결정립이 열처리후 잔류응력 σ 가 존재한다. 이때 특정 slip system에 작용하는 응력을 알고 싶다면?
 - 특정 slip system의 slip plane을 나타내는 단위 벡터를 찾는다. (111) plane $\rightarrow \frac{1}{\sqrt{3}} [1,1,1]$
 - 해당 벡터와 inner dot product를 실시하면 해당 면에 작용하는 force를 구할 수 있다.
 - 다음으로 얻어진 force와 slip direction을 inner dot product하면, 해당 면에서 해당 방향으로 작용하는 응력값(scalar value)을 구할 수 있다.

예제

- 단결정 알루미늄 재료에 다음의 응력이 작용하고 있다. 이때, 아래와 같은 조건이 주어진 결정면에서 작용하는 resolved shear stress 를 찾아보자. 단, 응력이 참조된 좌표축은 결정의 결정좌표계와 동일하다.

$$\sigma = \begin{bmatrix} 100 & 0 & 0 \\ 0 & 0 & 0 \\ 0 & 0 & 0 \end{bmatrix}$$

- Slip system #1: $(111)[1\bar{1}0]$
- Slip system #2: $(11\bar{1})[011]$

- 풀이:

예제

- 단결정 알루미늄 재료에 다음의 응력이 작용하고 있다. 이때, 아래와 같은 조건이 주어진 결정면에서 작용하는 resolved shear stress 를 찾아보자. 단, 응력이 참조된 좌표축은 결정의 결정좌표계와 동일하다.

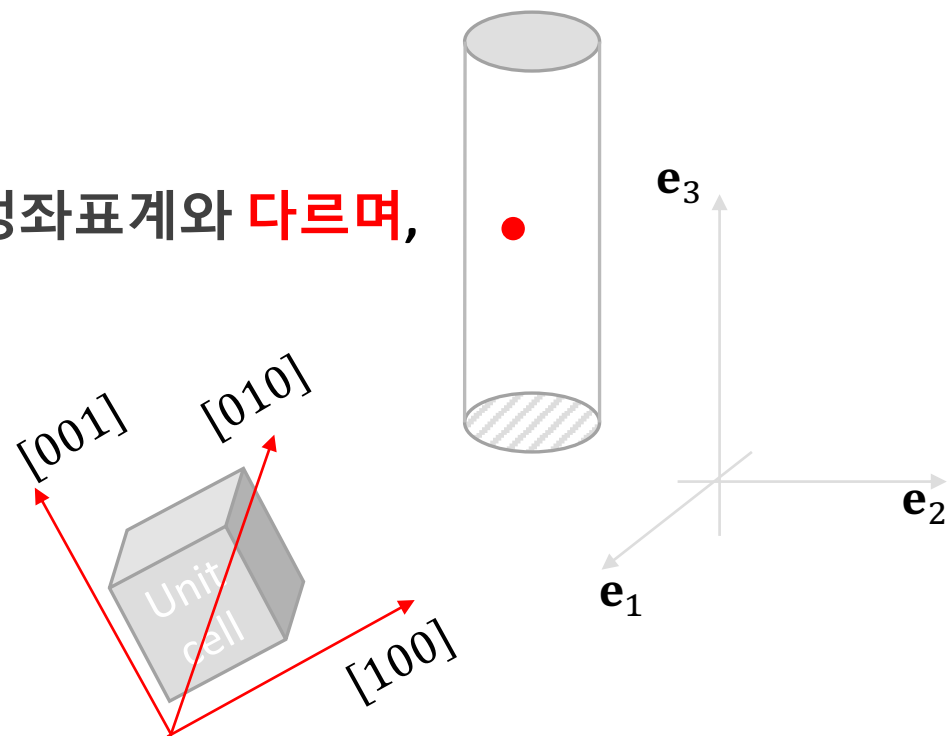
$$\sigma = \begin{bmatrix} 100 & 0 & 0 \\ 0 & 100 & 0 \\ 0 & 0 & 100 \end{bmatrix}$$

- Slip system #1: $(1\bar{1}1)[10\bar{1}]$
- Slip system #2: $(1\bar{1}1)[011]$
- 풀이:
- Hydrostatic pressure와 소성 변형에 대한 설명.

예제

- 단결정 알루미늄 재료에 다음의 응력이 작용하고 있다. $\sigma = \begin{bmatrix} 10 & 30 & 0 \\ 30 & 200 & 0 \\ 0 & 0 & 50 \end{bmatrix}$
- 이때, 아래와 같은 조건이 주어진 결정면에서 작용하는 resolved shear stress 를 찾아보자.
 - Slip system #1: (111)[1 $\bar{1}$ 0]
 - Slip system #2: (11 $\bar{1}$)[011]
- 단, 응력이 참조된 좌표축은 결정의 결정좌표계와 다르며,
다음의 좌표변환 매트릭스를 가진다.

$$R = \begin{bmatrix} 0.848 & -0.528 & 0.044 \\ 0.530 & 0.845 & -0.075 \\ 0.003 & 0.087 & 0.996 \end{bmatrix}$$



Stress tensor represented in other forms

- 앞서 응력 텐서가 matrix의 형태로 표현되는 것을 보았다. 하지만 이는 온전히 '편리'를 위해서이다 – 물론 많은 이점이 생긴다.
- 하지만 때에 따라 응력 텐서를 다른 형태로 표기하기도 한다.
- 예를 들어 Voigt notation은 매우 흔히 찾을 수 있는 응력텐서 표기 방법이다 – 3x3 matrix 대신 1x9 형태로 표현

$$\boldsymbol{\sigma} = \begin{bmatrix} \sigma_{11} & \sigma_{12} & \sigma_{13} \\ \sigma_{21} & \sigma_{22} & \sigma_{23} \\ \sigma_{31} & \sigma_{32} & \sigma_{33} \end{bmatrix}$$

- 위의 symmetric tensor를 9개 component 중 3개를 줄여 order를 낮출 수 있다.

$$\boldsymbol{\sigma} = \begin{bmatrix} \sigma_{11} \\ \sigma_{22} \\ \sigma_{33} \\ \sigma_{23} \\ \sigma_{13} \\ \sigma_{12} \end{bmatrix}$$

의 1x6 array로 표현; 6차원 공간상의 vector 형태가 된다:

$$\begin{bmatrix} \sigma_1 \\ \sigma_2 \\ \sigma_3 \\ \sigma_4 \\ \sigma_5 \\ \sigma_6 \end{bmatrix}$$

Stress Space

- Stress tensor consists of 6 components: $\sigma_{11}, \sigma_{22}, \sigma_{33}, \sigma_{23}, \sigma_{13}, \sigma_{12}$
- 한 응력상태는 위의 여섯 component가 특정값을 가진다. 따라서, 여섯 component 값들을 각각 축으로 하는 6차원 공간을 만든다면, 한 응력상태는 그러한 공간에서 한 좌표(coordinate; 좌표점)로 표현이 가능.
- 만약 응력이 세 principal values로 표현이 가능하다면 세 component 값들이 $\sigma_I, \sigma_{II}, \sigma_{III}$ ($\sigma_I \geq \sigma_{II} \geq \sigma_{III}$) 를 나타내는 축으로 구성된 3차원 공간안의 한 좌표 (coordinate; 좌표점).
- 이렇듯, 응력 상태를 표현하는 공간은 응력 텐서의 component를 나타내는 축으로 구성할 수 있고, 그러한 축으로 이루어진 공간을 stress space라고 한다.
- 응력 공간에서의 한 좌표는, 특정한 응력 텐서, 즉 특정한 응력 상태를 나타낸다.

Stress Space

- Stress tensor의 구성성분중 shear component가 모두 0이 되는 Cartesian coordinate로 표현되는 공간이 있을 수 있다. 그렇게 표현되는 stress state는 유의미한 value가 3개 이므로 해당 stress space를 3차원으로 표현할 수 있다.
- 이때 얻어진 세 값을 각각 principal value (주 값) 이라고 하며, 한 응력 상태에 해당하는 principal value들을 구하는 방법에 대해 간략하게 알아보도록 하겠다.
- 예1) 알루미늄을 일축 인장 시편을 위해 가공한후, 해당 시편의 길이/폭/두께 방향이 주어진 coordinate system의 $\mathbf{e}_1, \mathbf{e}_2, \mathbf{e}_3$ basis vector 방향과 평행할때, 응력 상태를 측정하여 다음과 같이 나타낼 수 있었다.

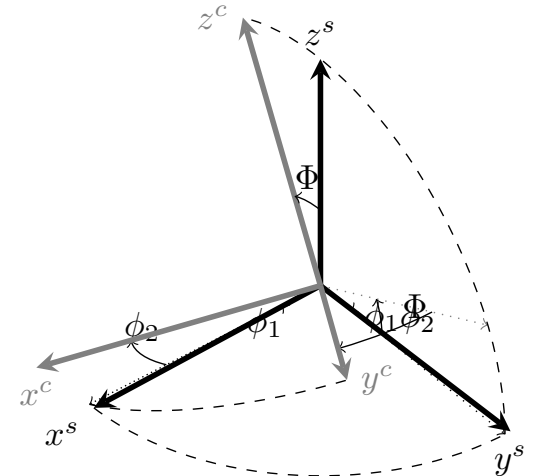
$$\sigma = \begin{bmatrix} -30 & 25 & 11 \\ 25 & 1 & -9 \\ 11 & -9 & 17 \end{bmatrix}$$

- 해당 응력 텐서의 principal space는? 또 principal values는?
- A) 주어진 coordinate system을 $\phi_1 = -1.4^\circ, \Phi = 24.86^\circ, \phi_2 = -30.59^\circ$ 을 통해 변환시켜 얻은 coordinate system이 해당 응력의 principal space이다.

Stress Space (확인)

$$\phi_1 = -1.4^\circ, \Phi = 24.86^\circ, \phi_2 = -30.59^\circ$$

input	output				
This excell sheet proves a means of coordinate system transformation					
	angle radian				
Three Euler angles					
phi1	-1.4	-0.024			
Phi	24.86	0.434			
phi2	-30.59	-0.534			
삼각 함수 값들					
cos(phi1)	1.000	sin(phi1)	-0.024	0.849 -0.483 -0.214	0.849 0.528 -0.010
cos(Phi)	0.907	sin(Phi)	0.420	0.528 0.768 0.362	-0.483 0.768 -0.420
cos(phi2)	0.861	sin(phi2)	-0.509	-0.010 -0.420 0.907	-0.214 0.362 0.907
2nd rank tensor in matrix form					
-30 25 11	25 1 -9	11 -9 17	R.T	R^t.R.T	2nd rank tensor after coordinate transformation
1	0	0	-39.898 22.675 10.049	-46.979 0.001 -0.002	
			7.356 10.707 5.043	0.001 13.935 0.000	
			-0.218 -8.843 19.094	-0.002 0.000 21.044	
1st rank tensor (i.e., vector) in array form					
1	0	0	R.v 1st rank tensor (vector) after coordinate transformation		
			0.849 0.528 -0.010		

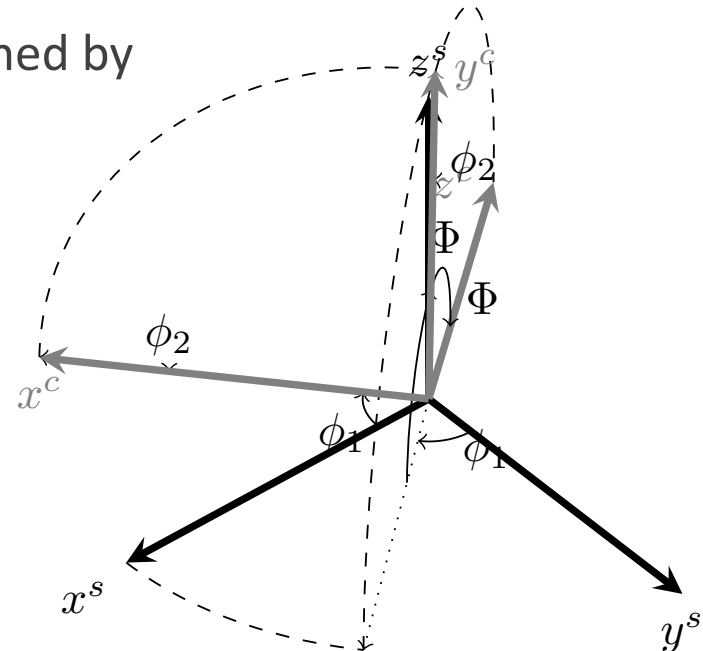


More examples

$$\sigma = \begin{bmatrix} 100 & 300 & 30 \\ 300 & 5 & 25 \\ 30 & 25 & 3 \end{bmatrix}$$

- The principal space of the above tensor can be obtained by
 - $\phi_1 = -49.5^\circ, \Phi = 96.23^\circ, \phi_2 = -0.11^\circ$

- And the principal values?
 - 251.2, -1.2, 360.5



How did I obtain this?

- An analytical method to obtain ‘principal’ values:

- Find the eigenvalues and eigenvectors of 3x3 matrix form of the stress tensor
- That can be done by following
 - 1. Define a new 3x3 matrix

$$A_{ij} = \sigma_{ij} - \lambda \delta_{ij} \quad \begin{aligned} \delta_{ij} &= 1 && \text{if } i = j \\ &= 0 && \text{or if } i \neq j \end{aligned}$$

- 2. Solve the case of λ when $\det(\mathbf{A})=0$.

$$\mathbf{A} = \begin{bmatrix} \sigma_{11} - \lambda & \sigma_{12} & \sigma_{13} \\ \sigma_{21} & \sigma_{22} - \lambda & \sigma_{23} \\ \sigma_{31} & \sigma_{32} & \sigma_{33} - \lambda \end{bmatrix}$$

- 3. That's actually solving

$$\lambda^3 - I_1 \lambda^2 - I_2 \lambda - I_3 = 0$$

Where

$$\begin{aligned} I_1 &= \sigma_{11} + \sigma_{22} + \sigma_{33} \\ I_2 &= (\sigma_{12}^2 + \sigma_{23}^2 + \sigma_{13}^2 - \sigma_{11}\sigma_{22} - \sigma_{22}\sigma_{33} - \sigma_{33}\sigma_{11}) \\ I_3 &= \sigma_{11}\sigma_{22}\sigma_{33} + 2\sigma_{12}\sigma_{13}\sigma_{23} - \sigma_{11}\sigma_{23}^2 - \sigma_{22}\sigma_{13}^2 - \sigma_{33}\sigma_{12}^2 \end{aligned}$$

How did I obtain this?

- Okay, we learned how to get eigenvalues. Next question is how we can obtain eigenvectors.
- Once you found the eigenvalues, you solve the equations given by

$$\mathbf{A} \cdot \mathbf{v} = A_{ij} v_j = 0$$

- Example:

For a 2nd rank tensor $B = \begin{bmatrix} 1 & -3 & 3 \\ 3 & -5 & 3 \\ 6 & -6 & 4 \end{bmatrix}$,

$$\det(B_{ij} - \lambda \delta_{ij}) = \det \begin{bmatrix} 1 - \lambda & -3 & 3 \\ 3 & -5 - \lambda & 3 \\ 6 & -6 & 4 - \lambda \end{bmatrix} = -\lambda^3 + 12\lambda + 16 = -(\lambda - 4)(\lambda + 2)^2$$

$\det(B_{ij} - \lambda \delta_{ij}) = 0$: The solution of these equations is $\lambda = 4$, $\lambda = -2$ and $\lambda = -2$ (repeated).

Eigen vectors can be found from

$$(\mathbf{A} - \lambda \mathbf{I}) \cdot \mathbf{x} = \mathbf{0}$$

How did I obtain this? (continued)

$$(\mathbf{A} - \lambda\mathbf{I}) \cdot \mathbf{x} = 0$$

Put each of the three eigenvalues you obtained in the above to obtain three eigenvectors $(\mathbf{x}^{(1)}, \mathbf{x}^{(2)}, \mathbf{x}^{(3)})$. You'll get

$$(\mathbf{A} - 4\mathbf{I}) \cdot \mathbf{x}^{(1)} = 0 \quad (1)$$

$$(\mathbf{A} + 2\mathbf{I}) \cdot \mathbf{x}^{(2)} = 0 \quad (2)$$

$$(\mathbf{A} + 2\mathbf{I}) \cdot \mathbf{x}^{(3)} = 0 \quad (3)$$

For instance, solution of (1) gives

$$x_1^{(1)} - \frac{1}{2}x_3^{(1)} = 0 \rightarrow x_1^{(1)} = \frac{1}{2}x_3^{(1)}$$

$$x_2^{(1)} - \frac{1}{2}x_3^{(1)} = 0 \rightarrow x_2^{(1)} = \frac{1}{2}x_3^{(1)}$$

Therefore, eigenvector associated with eigenvalue 4 is: $x_3^{(1)} \begin{bmatrix} \frac{1}{2} & \frac{1}{2} & 1 \end{bmatrix}$ (with any arbitrary $x_3^{(1)}$ value). You could do the same for (2) condition, which results in

$$\mathbf{x}^{(2)} = x_3^{(2)} \begin{bmatrix} 1 \\ 0 \\ 1 \end{bmatrix} + x_2^{(2)} \begin{bmatrix} -1 \\ 1 \\ 0 \end{bmatrix}$$

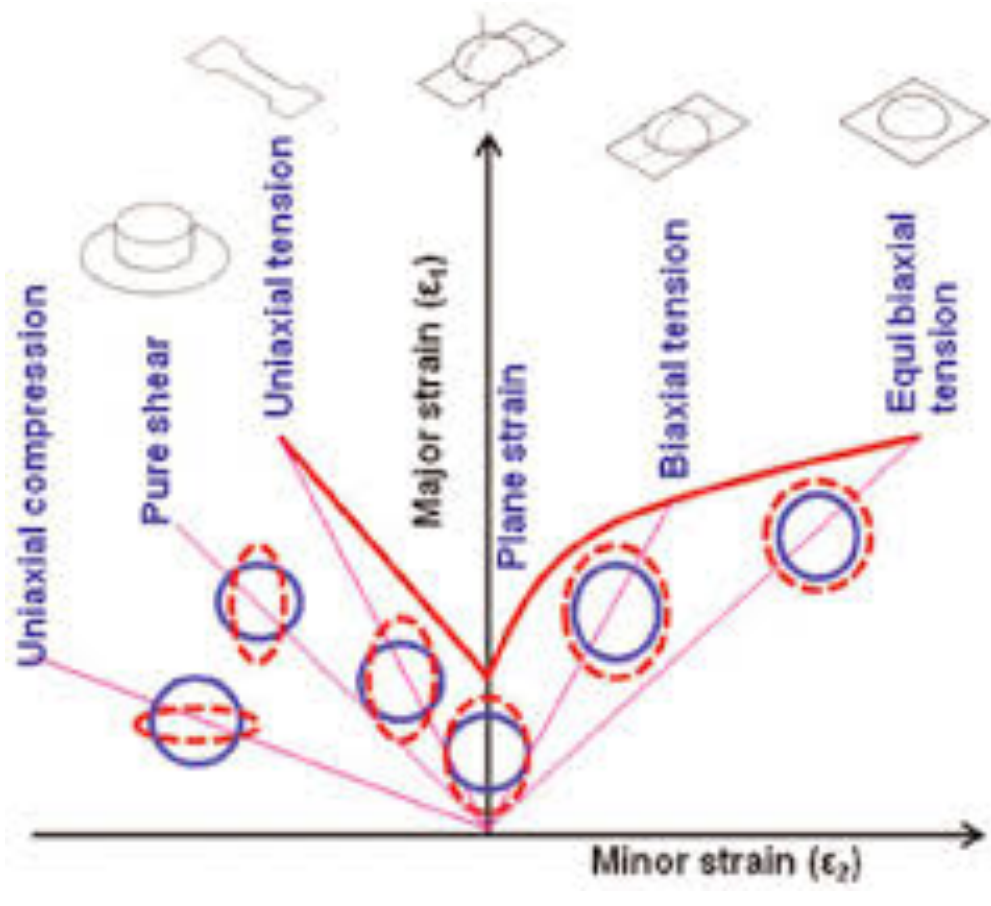
How did I obtain this? (continued)

- 일단 eigenvector들이 구성된다면 이를 토대로 transformation matrix를 얻을 수 있다.
- 다음으로 transformation matrix를 Euler angles로 변환가능
- 물론 저도 이 모든 과정을 연필과 종이로 풀지 않는다.
- 저의 경우 LAPACK으로 eigenvalue와 eigenvector를 수치적으로 얻고, 이를 바탕으로 transformation matrix를 구해서, 다시 Euler angle로 변환하였다.
- 참고: <https://youngung.github.io/principal/>

Principal values / principal space

- 어디에 쓰이나? 왜 배우나? 어디에 유익할까?
- Principal space에 주어진 응력을 표현하면 문제가 매우 간단해 진다!
- 왜? 일단 생각해야 할 component의 수가 줄어든다 - 6D stress space가 3D stress space로 줄어든다.
 - 3D space는 간단히 Cartesian coordinate로 표현할 수 있다. (시각적으로, 그리고 수치해석적으로도) 6차원 보다는 매우 편리하다.
- 다른 예?

Application: Forming limit diagram



성형 한계 다이아그램은 금속 판재의 성형성을 간단히 나타낼 수 있다.

전통적으로 fracture가 일어난 판재의 minor/major strain을 측정하여 모아 곡선으로 표현한다. 여기서 minor/major strain들은 principal space의 strain component를 의미한다.

어쩌다가 principal space로 표현하게 되었을까?
- FLD 측정 방식에서 유래
(다음장)

Application: Forming limit diagram

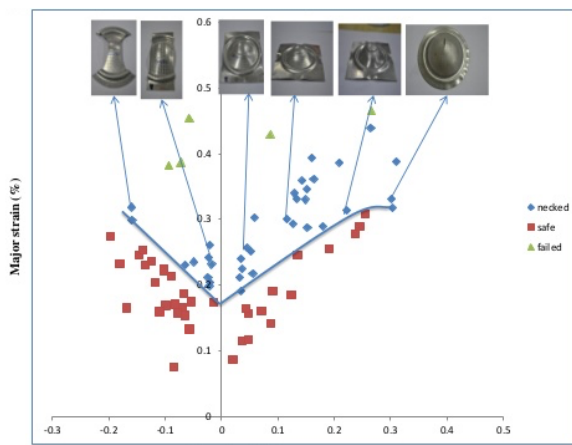
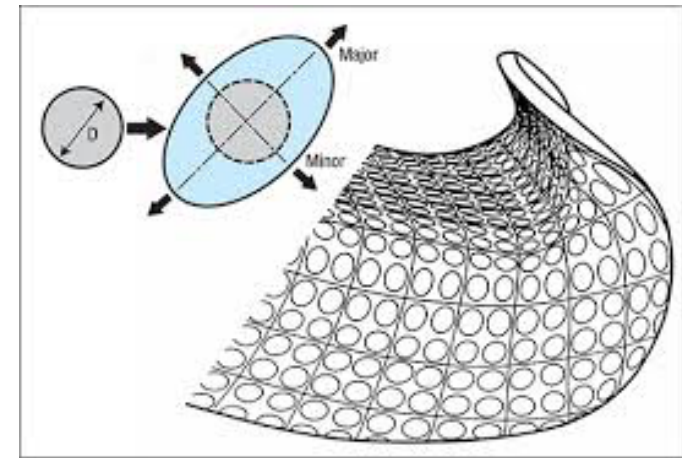
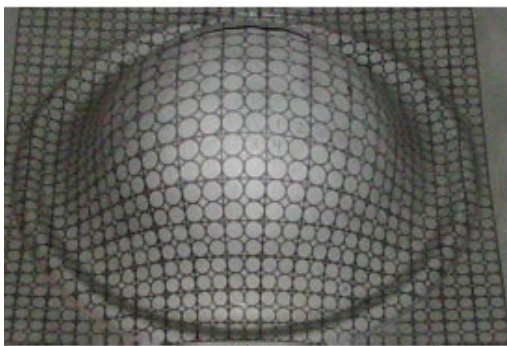


Fig 33: Forming limit diagram of (a) IF steel (b) AA5754-H22 and (c) AA5182-O sheet of thickness 1mm.

Principal space를 사용한다면?

- 응력과 변형률 텐서가 모두 같은 principal space에 표현이 되는 상태라면,

$$\boldsymbol{\sigma} = \begin{bmatrix} \sigma_{11} & 0 & 0 \\ 0 & \sigma_{22} & 0 \\ 0 & 0 & \sigma_{33} \end{bmatrix} \text{ 그리고 } \boldsymbol{\varepsilon} = \begin{bmatrix} \varepsilon_{11} & 0 & 0 \\ 0 & \varepsilon_{22} & 0 \\ 0 & 0 & \varepsilon_{33} \end{bmatrix}$$

- 이를 간단히 Voigt notation을 차용한다면 3차원 문제가 된다. 따라서

$$\boldsymbol{\sigma} = \begin{bmatrix} \sigma_1 \\ \sigma_2 \\ \sigma_3 \end{bmatrix} \text{ 그리고 } \boldsymbol{\varepsilon} = \begin{bmatrix} \varepsilon_1 \\ \varepsilon_2 \\ \varepsilon_3 \end{bmatrix} \text{로 표현 가능하다. (각 성분의 첨자가 하나로 줄었다)}$$

- 때로는 principal space에 표현된 응력의 성분임을 좀 더 명확히 하기 위해

로마자 첨자를 사용한다. Ex. $\boldsymbol{\sigma} = \begin{bmatrix} \sigma_I \\ \sigma_{II} \\ \sigma_{III} \end{bmatrix}$

Principal space and Hooke's law (1)

- 응력과 변형률간의 관계는 Hooke's law를 따르며, 그 둘간 '선형' 관계를 설명하는 법칙이다.
- Principal space의 \mathbf{e}_1 방향으로의 가상 '일축 인장' 실험을 생각해보자. $\sigma_1 \neq 0$ 이며 다른 응력 구성성분은 모두 zero. 해당 \mathbf{e}_1 방향에서의 stress component와 해당 방향에서의 strain component 간에는 '선형' 관계가 지켜진다. 이는 $\sigma_1 = E\varepsilon_1$ 로 표현가능 – 여기서 E 는 탄성계수.
- 나머지 principal space의 \mathbf{e}_2 축과 \mathbf{e}_3 축에서는 '수축' 변형이 발생한다. 만약 시편이 'isotropic' 하다면, 그 수축 변형량은 동일하다. 이는 $\varepsilon_1 = \varepsilon_2 = -\nu\varepsilon_1$ 으로 표현가능 – 여기서 ν 는?

Principal space and Hooke's law (2)

- 앞서 '일축' 인장(즉 $\sigma_1 \neq 0$)에 적용된 예들을 좀 더 확장 시켜 '삼축' 모두에 arbitrary한 응력이 걸렸을 경우(즉 $\sigma_1 \neq 0, \sigma_2 \neq 0, \sigma_3 \neq 0$)를 표현할 수 있는 방법이 있다. 이는
$$\mathbb{E}\varepsilon_1 = [\sigma_1 - v(\sigma_2 + \sigma_3)]$$
- 앞서 우리는 principal space에서 '축약'된 Hooke's law를 살펴보았다. 사실 Full tensor를 사용하면 Hooke's law는 ...
$$\sigma_{ij} = \mathbb{E}_{ijkl}\varepsilon_{kl}$$
 혹은 $\varepsilon_{ij} = \mathbb{C}_{ijkl}\sigma_{kl}$ (여기서 $\mathbb{C} = \mathbb{E}^{-1}$)
- 위를 이용하여
 - $\varepsilon_{11} = \mathbb{C}_{11kl}\sigma_{kl}$
 - $\varepsilon_{22} = \mathbb{C}_{22kl}\sigma_{kl}$
 - $\varepsilon_{12} = \mathbb{C}_{12kl}\sigma_{kl}$

Boundary condition

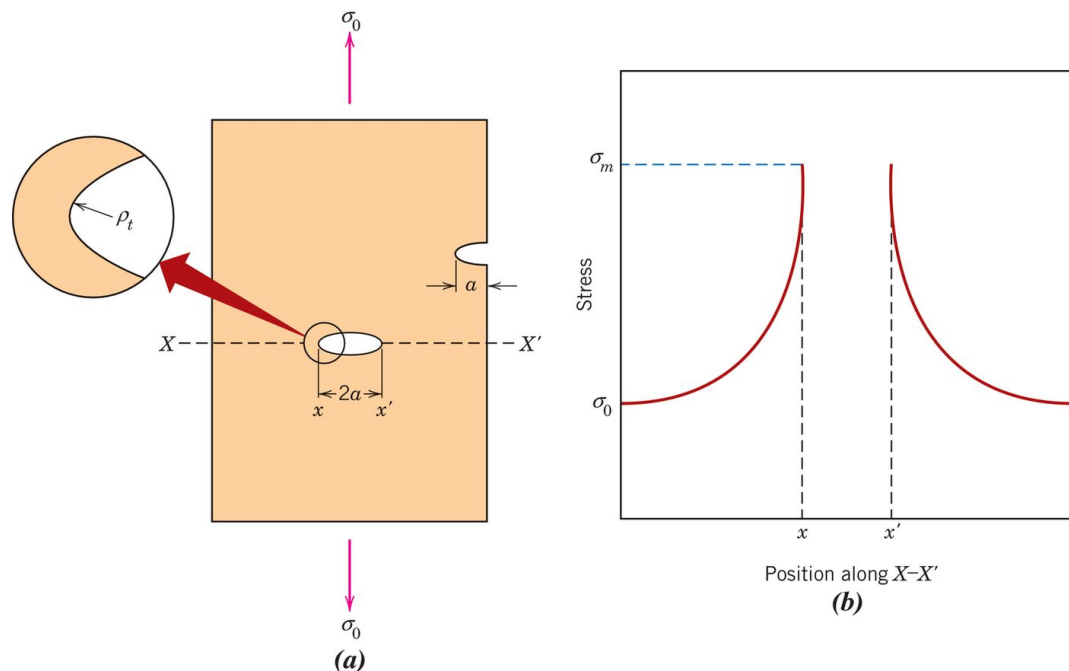
- 재료 역학 문제를 효율적으로 해결하기 위해서는 적절한 boundary condition (경계조건)을 찾아내고 올바르게 설정하는 것이 매우 중요하다. 이를 위해 몇몇 유익한 hints를 꼽자면
 - 자유 표면에 수직한 응력은 0이다. 재료의 가장 바깥 표면에 응력을 전달하는 다른 물질이 없이 대기중에 노출되어 있으면, 해당 표면의 방향과 관계된 응력 성분들은 0이다. 예를 들어, 한 물질점이 free surface에 해당하고 z축방향으로 그 법선이 향한다면, σ_{zz} , σ_{yz} , σ_{xz} 모두 0이다.
 - 마찰이 없는 면에서 전단응력들은 0이다. 해당면이 (위의 예와 유사하게) z축방향으로 그 법선이 향한다면, σ_{yz} , σ_{xz} 모두 0이다.
 - 힘평형 상태에서는 물체의 모든 면에서 힘의 균형이 존재한다.
 - St. Venant 원리

St. Venant 효과와 응력집중자

재료가 겪는 응력은 (void등의) defect 주위에서 '증폭' 된다. 이를 '응력집중' 이라 하는데, 그 정량적 크기는 defect의 기하학적 특성 (ex. Void의 방위, 크기, 모양)에 크게 영향을 받는다.

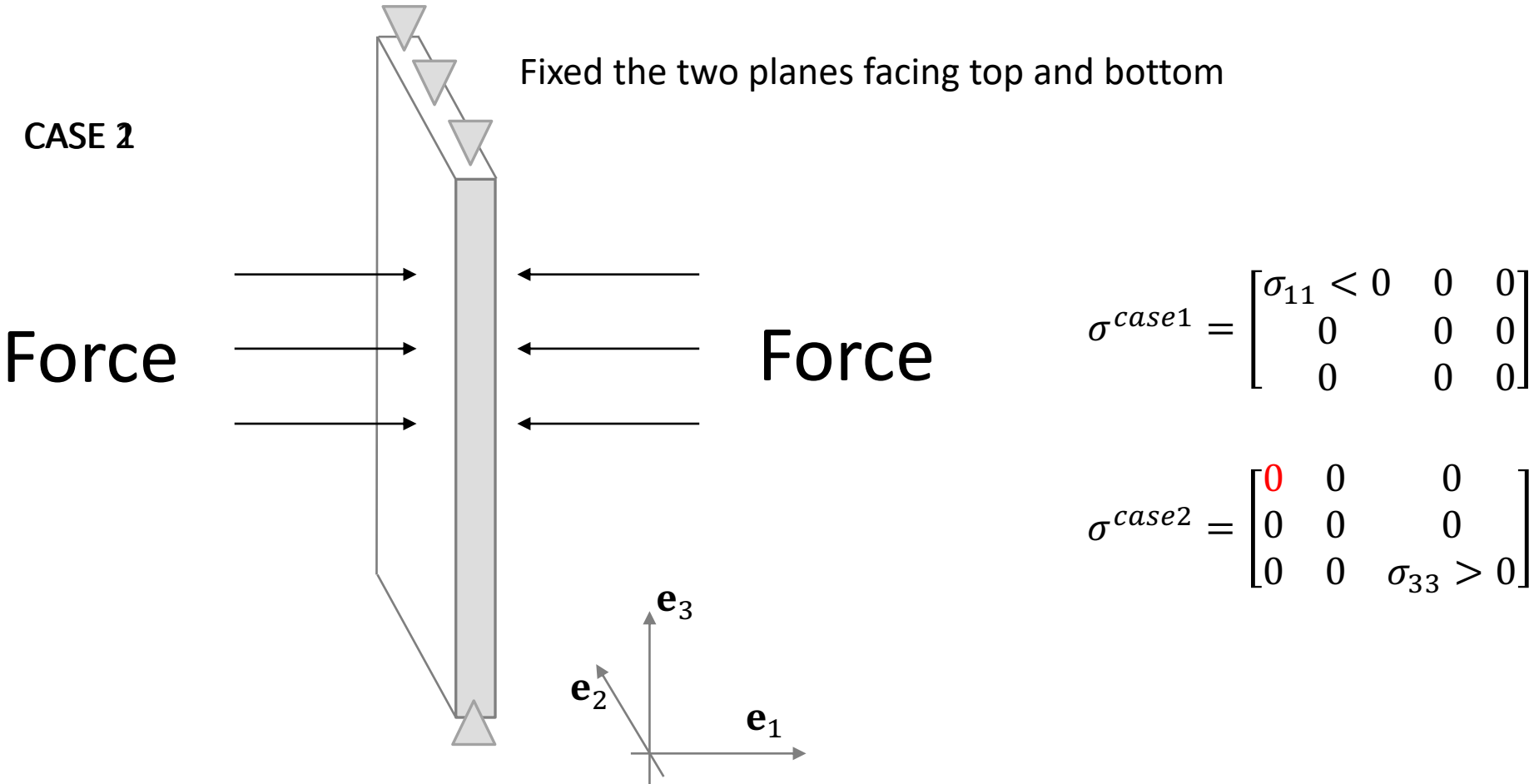
St. Venant principle (생 베낭 원리)

하지만 void에서 거리가 떨어짐에 따라 급격하게 void에 의한 응력집중효과가 감소하는 것을 알 수 있다.



Plane stress condition and free surface

- Plane stress condition을 더 자세히 설명하기에 앞서 free surface를 이해해보자.



Plane theory (2D approximation)

- 재료의 기계적 거동을 설명할 때, 구조물의 모습과 기대되는 응력/변형률에 의한 방향으로의 구성성분들이 다른 성분들과 비교해 '매우매우매우' 작을 때가 있다.
- 그럴 때는 full tensor component를 모두 고려하기 보다는 매우 작은 성분들을 'zero'로 가정하여 문제를 간단화 시키기도 한다.
- 이를 통해, 문제의 복잡성을 줄이고, 수치해석시간(컴퓨터 계산 시간)도 줄어들 수 있다. 그 뿐만 아니라, 수식도 매우 간편해진다!
- 응력을 예로 들자면, 서로 수직하는 세 면 중 한 면과 관련된 응력 성분들이 모두 zero인 상태 (혹은 그렇게 모사된 상태) 를 일컬어 **plane stress condition (평면 응력상태)**라고 한다.
- 변형률 텐서를 예로 들자면 세 기본 길이 방향 중, 한 방향과 관련한 normal/shear components가 모두 zero인 상태... **plane strain condition (평면 변형률 상태)**라고 한다.

예제 (과제)

- 구성성분 σ_{11}, σ_{22} , 그리고 σ_{12} 가 유한한 값을 가지고 있고, $\sigma_{33}, \sigma_{13}, \sigma_{23}$ 가 0인 응력 상태가 주어져 있다. 이때, 주응력값들이 다음과 같이 주어짐을 보여라.

$$\sigma_1 = \frac{\sigma_{11} + \sigma_{22}}{2} + \sqrt{\left(\frac{\sigma_{11} - \sigma_{22}}{2}\right)^2 + \sigma_{12}^2}$$

$$\sigma_2 = \frac{\sigma_{11} + \sigma_{22}}{2} - \sqrt{\left(\frac{\sigma_{11} - \sigma_{22}}{2}\right)^2 + \sigma_{12}^2}$$

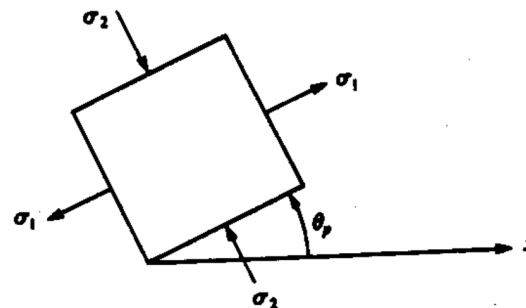
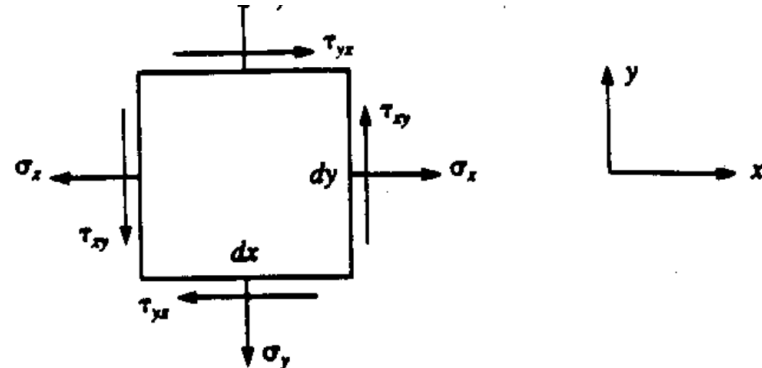
Plane stress condition

Plane stress where the components associated with \mathbf{e}_3 basis vector are zero:

$$\begin{bmatrix} \sigma_{11} & \sigma_{12} & 0 \\ \sigma_{12} & \sigma_{22} & 0 \\ 0 & 0 & 0 \end{bmatrix}$$

\mathbf{e}_3 basis vector becomes one of three principal axes.

And $\sigma_{33} = 0$ becomes ones of the three principal values.



Plane stress condition

Plane stress where the components associated with \mathbf{e}_3 basis vector are zero: $\begin{bmatrix} \sigma_{11} & \sigma_{12} & 0 \\ \sigma_{12} & \sigma_{22} & 0 \\ 0 & 0 & 0 \end{bmatrix}$

따라서, 이를 2×2 matrix로 표현 가능하다: $\begin{bmatrix} \sigma_{11} & \sigma_{12} \\ \sigma_{12} & \sigma_{22} \end{bmatrix}$ 단지 세개의 component만

meaningful. 더욱 축약하여 $\begin{bmatrix} \sigma_{11} \\ \sigma_{22} \\ \sigma_{12} \end{bmatrix}$ 의 형태로 표현 가능하다.

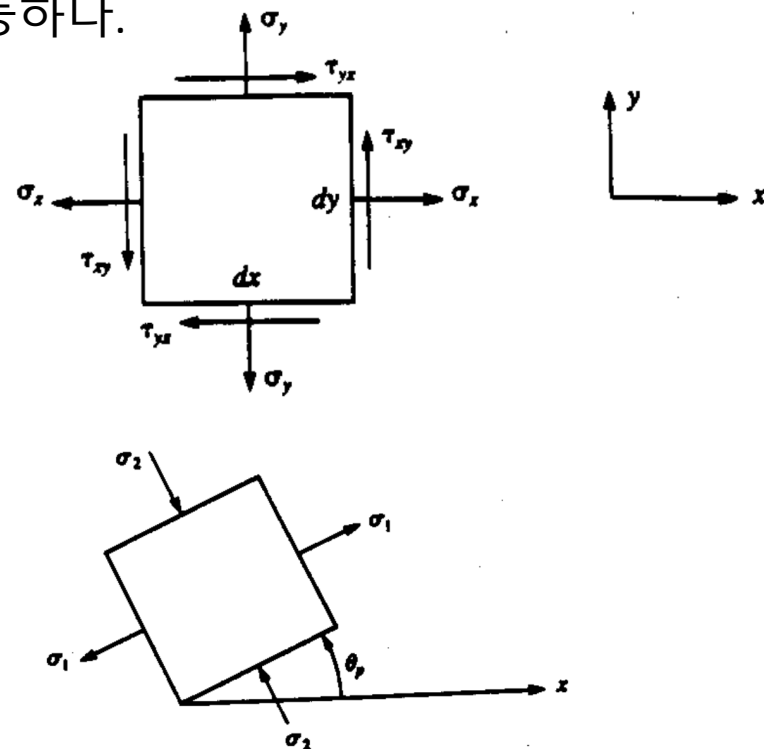
이경우 principal stress와 principal space도 매우 간단히 구해진다.

$$\sigma_1 = \frac{\sigma_{11} + \sigma_{22}}{2} + \sqrt{\left(\frac{\sigma_{11} - \sigma_{22}}{2}\right)^2 + \sigma_{12}^2}$$

$$\sigma_2 = \frac{\sigma_{11} + \sigma_{22}}{2} - \sqrt{\left(\frac{\sigma_{11} - \sigma_{22}}{2}\right)^2 + \sigma_{12}^2}$$

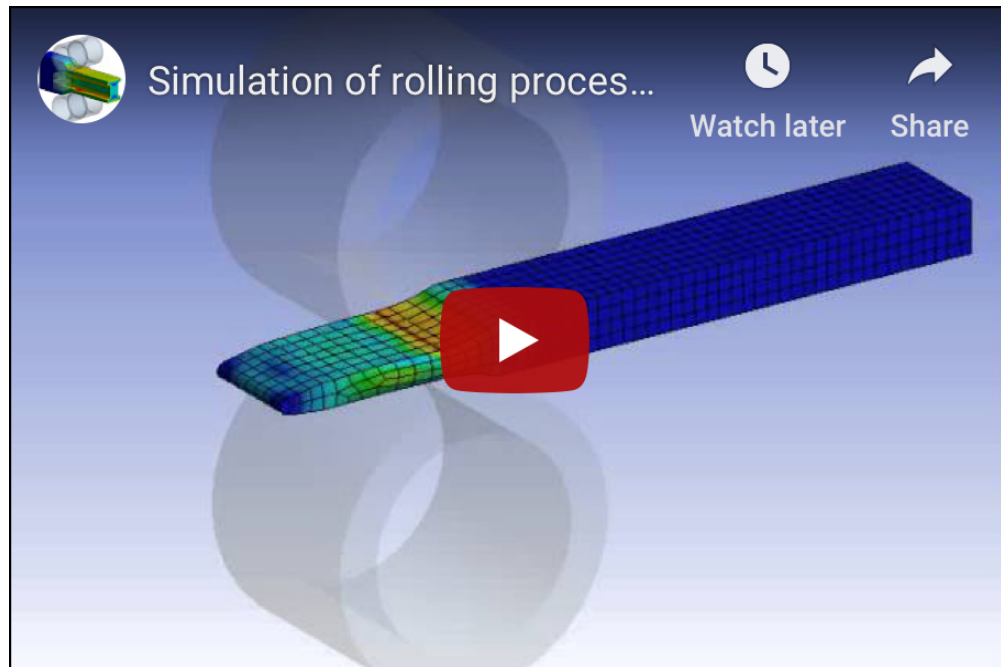
Principal space를 구하기 위해서는...

$$\theta = \frac{1}{2} \tan^{-1} \left(\frac{2\sigma_{12}}{\sigma_{11} - \sigma_{22}} \right) \text{로 얻어진 값으로 회전...}$$

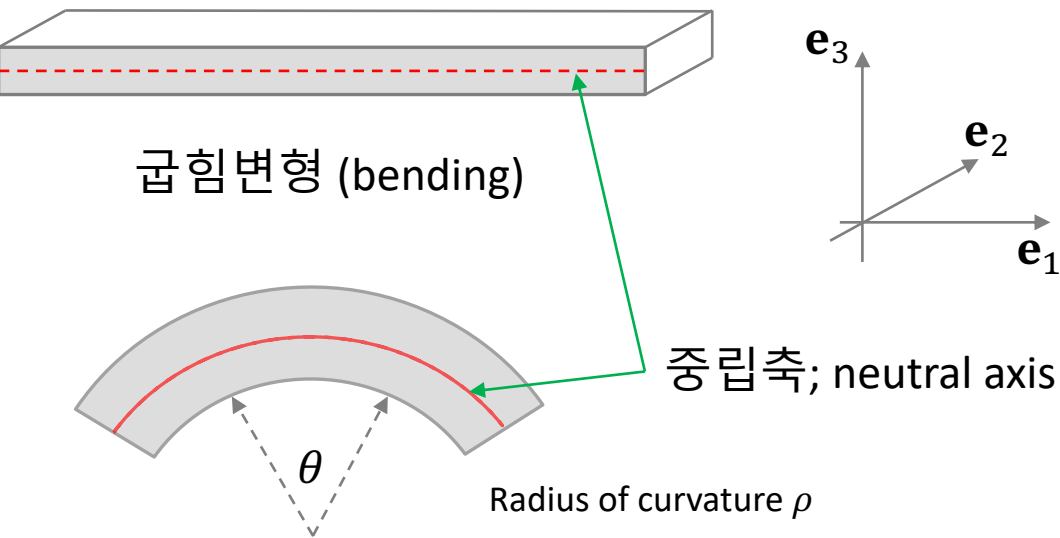


Plane strain condition

$$\varepsilon_{ij} = \begin{bmatrix} \varepsilon_{11} & \varepsilon_{12} & 0 \\ \varepsilon_{12} & \varepsilon_{22} & 0 \\ 0 & 0 & 0 \end{bmatrix}$$



예제 1-11



e_2 축으로 strain이 없는 plane-strain condition

$$\boldsymbol{\varepsilon} = \begin{bmatrix} \varepsilon_{11} & 0 & 0 \\ 0 & 0 & 0 \\ 0 & 0 & \varepsilon_{33} \end{bmatrix}$$

위의 변형률 텐서를 살피면, 해당 좌표계가 principal space를 나타냄을 알 수 있다.

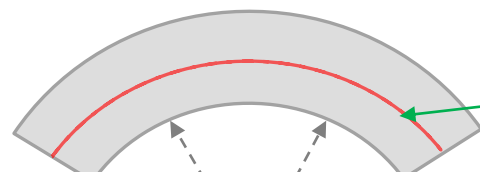
조건

1. 시편 전체에 '균일한' 변형이 작용하였다고 가정했다.
2. 변형전 시편의 가운데 면이 변형후에도 '총' 길이 변화가 없다 (중립축; neutral axis). 그리고 중립축이 시편의 두께 방향 중간에 위치한다. 시편의 두께 변화가 없다. 굽힘 후의 곡률반경 ρ 는 시편의 두께에 비해 매우 크다 ($\rho \gg t$)
3. 굽힘의 양이 적어, engineering strain을 변형률로 사용한다.

공칭 변형률의 정의 $\varepsilon = \frac{l_1 - l_0}{l_0}$ 을 통해 시편 바깥쪽 넓은면의 변형률을 구하고, Hooke's law를 사용하여 해당면의 응력상태를 곡률과 두께 그리고 modulus, strain 및 Poisson ratio의 함수로 표현해보자.

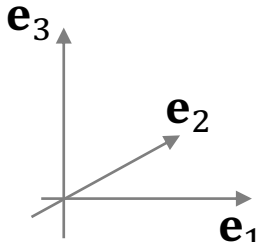


굽힘변형 (bending)



중립축; neutral axis

풀이



θ

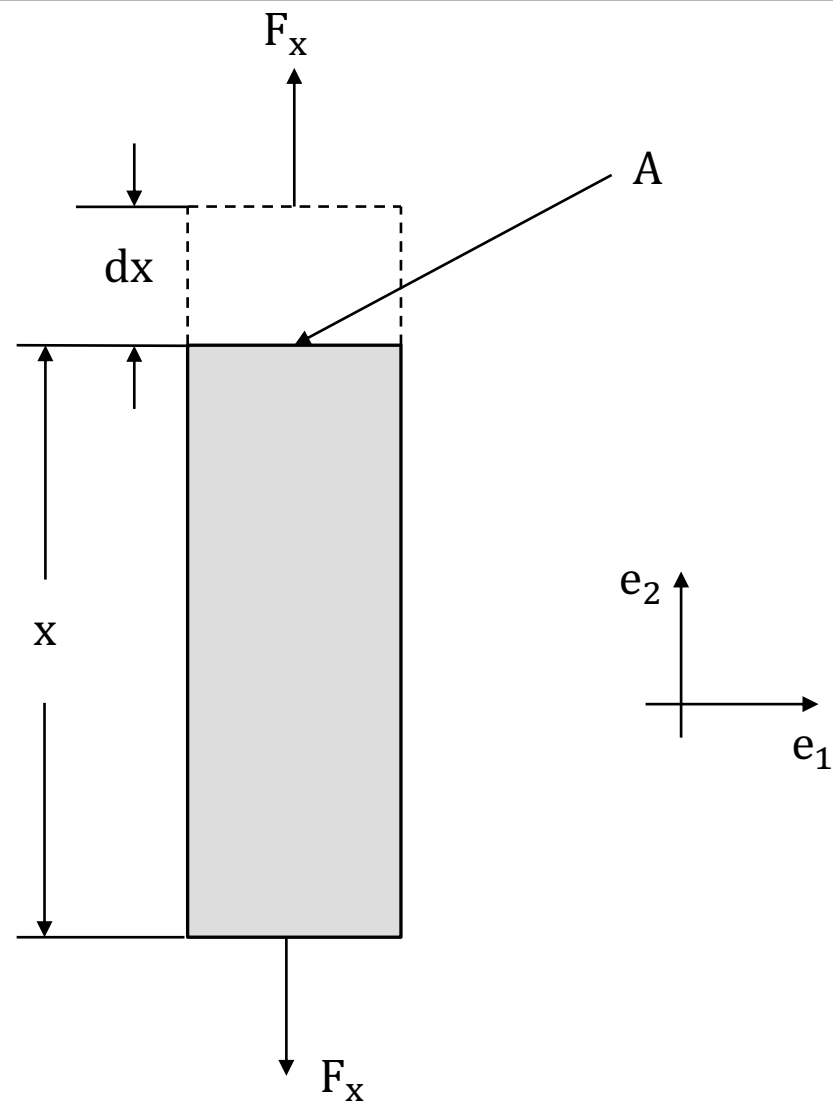
Radius of curvature
(곡률반경): ρ

왼쪽의 좌표계 공간이 단순
굽힘 환경에서의 응력을
principal space에 표현하게
해줌을 알 수 있다.

- 시편 바깥쪽의 최종 길이를 θ 와 ρ , 그리고 두께 t 에 대한 함수로 표현할 수 있다.
- e_1 방향으로의 본래 길이는 중립축 선상의 길이로 볼 수 있다. 따라서 변형전 길이는 $\theta(\rho + \frac{t}{2})$
- 비슷한 방법으로 바깥표면의 굽힘 후 길이는 $\theta(\rho + t)$
- 따라서 $\varepsilon_1 = \frac{l_1 - l_0}{l_0} = \frac{\theta(\rho+t) - \theta(\rho+\frac{t}{2})}{\theta(\rho+\frac{t}{2})} = \frac{t/2}{\rho+t/2}$
- 여기서, 앞서 주어진 조건 $\rho \gg t$ 를 사용하면 $\varepsilon_1 \approx \frac{t/2}{\rho}$. 앞서 우리는 다음과 같은 관계식을 배웠다.
- $E\varepsilon_1 = [\sigma_1 - \nu(\sigma_2 + \sigma_3)]$ 그리고 plane-strain condition에 의해 $E\varepsilon_2 = [\sigma_2 - \nu(\sigma_1 + \sigma_3)] = 0$
- 그런데 제일 바깥쪽 면은 free surface; 즉 $\sigma_3 = 0$. 따라서
- $E\varepsilon_1 = [\sigma_1 - \nu\sigma_2]$ 그리고 $[\sigma_2 - \nu\sigma_1] = 0 \therefore \sigma_2 = \nu\sigma_1$
- 따라서 $\varepsilon_1 = \frac{1}{E}[\sigma_1 - \nu^2\sigma_1] = \frac{\sigma_1}{E}(1 - \nu^2)$. 재배치를 하면 $\sigma_1 = \frac{E\varepsilon_1}{(1-\nu^2)}$. $\varepsilon_1 = \frac{t/2}{\rho}$ 대입하면
- $\sigma_1 = \frac{t}{2\rho(1-\nu^2)}$ 그리고 $\sigma_2 = \nu\sigma_1$ 를 사용하여 $\sigma_2 = \frac{t}{2\rho(1-\nu^2)}\frac{\nu E}{(1-\nu^2)}$

탄성과 탄성일(탄성변형 에너지)

- 길이 x 단면적 A 인 봉이 일축인장력 F_x 로 인해, dx 만큼 변화되었다. 이에 따른 미소(infinitesimal) 일(work) dW 은?
- $dW = F_x dx$
- 단위 부피당 미소 일은?
- $dw = \frac{dW}{\text{Volume}} = \frac{dW}{xA} = \frac{F_x}{A} \left(\frac{dx}{x} \right) = \sigma_x d\varepsilon_x$
- 앞서 다루었던 Hooke's law에 의해 $\sigma_x = E\varepsilon_x$
- $W = \int dw = \int \sigma_x d\varepsilon_x = \int E\varepsilon_x d\varepsilon_x$
 $= E \int_0^{\varepsilon_x} x dx = \frac{E\varepsilon_x^2}{2} = \frac{\sigma_x \varepsilon_x}{2}$
- 같은 아이디어를 general한 텐서에 적용하면...
- $W = \frac{1}{2} (\sigma_{ij} \varepsilon_{ij})$



References and acknowledgements

■ References

- An introduction to Continuum Mechanics – M. E. Gurtin
- Metal Forming – W.F. Hosford, R. M. Caddell (번역판: 금속 소성 가공 - 허무영)
- Fundamentals of metal forming (R. H. Wagoner, J-L Chenot)
- <http://www.continuummechanics.org> (very good on-line reference)

■ Acknowledgements

- Some images presented in this lecture materials were collected from Wikipedia.